

УДК 539.374+539.386+539.5

МОЛЕКУЛЯРНО-ДИНАМИЧЕСКОЕ МОДЕЛИРОВАНИЕ ДИНАМИКИ КРАЕВОЙ ДИСЛОКАЦИИ В АЛЮМИНИИ

© 2008 г. А. Ю. Куксин, В. В. Стегайлов, А. В. Янилкин

Представлено академиком Ю.А. Осипьяном 06.12.2007 г.

Поступило 18.12.2007 г.

Способность кристалла к пластической деформации обусловлена наличием в кристаллической решетке дислокаций. Движение дислокаций определяет формирование реальной атомной структуры кристаллических тел, кинетику деформации кристаллов под нагрузкой и лежит в основе регулирования многих важных физических свойств твердых тел [1–3].

Известно, что для многих металлов зависимость напряжения течения от скорости деформирования резко усиливается при скорости деформирования, превышающей $\sim 10^3$ – 10^4 с⁻¹. Такое явление можно интерпретировать как следствие изменения механизма движения дислокаций. При малых скоростях движения дислокации преодолевают препятствия в результате совместного действия приложенного напряжения и тепловых флуктуаций. Вследствие этого увеличение температуры сопровождается понижением предела текучести материалов. Для деформирования с высокой скоростью необходимо приложить более высокие напряжения. При скорости деформирования больше некоторой пороговой ($\sim 10^4$ с⁻¹ для чистых металлов) действующие напряжения оказываются достаточными для обеспечения динамического преодоления препятствий без дополнительного вклада тепловых флуктуаций. При этом доминирующим механизмом торможения дислокаций становится перекачка энергии дислокации в колебания кристаллической решетки или, в зависимости от температуры, в электронную подсистему. В отличие от области термофлуктуационной подвижности скорость дислокаций в динамической области падает с температурой в соответствии с увеличением плотности газа элементарных возбуждений. Поэтому при очень высоких скоростях деформирования для некото-

рых материалов наблюдается возрастание (аномальное) напряжения течения с увеличением температуры [1].

В представленной работе сопоставляются результаты моделирования с величинами динамического предела текучести монокристаллического алюминия из ударно-волновых экспериментов, являющихся мощным методом изучения свойств вещества при динамических нагрузках с хорошо контролируемыми условиями нагружения. Поведение материалов при высокоскоростном деформировании в ударно-волновых экспериментах весьма разнообразно, что проявляется как в ходе температурной зависимости предела текучести, так и при исследовании характера деформации в сохраненных образцах [1, 4].

МЕТОДИКА МОДЕЛИРОВАНИЯ

На сегодняшний момент предложено три варианта молекулярно-динамических моделей (с различными граничными условиями), позволяющих изучать подвижность единичных дислокаций [5]. В наших расчетах за основу был взят вариант модели, предложенный в работе [6], где периодические граничные условия применяют не только вдоль оси дислокации, но и вдоль направления вектора Бюргерса дислокации **b**. В этом случае систему можно представить как массив дислокаций, периодически повторяющихся в пространстве.

На рисунке 1 представлена схема расчетной ячейки, соответствующая этой модели. Оси ориентированы соответственно одной из систем скольжения, типичной для ГЦК-решетки, какой обладает алюминий, а именно [110] (111). Вектор Бюргерса полной краевой дислокации, обеспечивающей такое скольжение, $\mathbf{b} = [1\bar{1}0]\frac{a}{2}$ (направление совпадает с осью *x*). Скольжение дислокации происходит в плоскости *xz*, т.е. (111). Линия краевой дислокации совпадает с осью *z*. Периодические граничные условия действуют вдоль осей *x* и *z*. Подвижные частицы расчетной ячейки составляют блок *A* (размер поперечного сечения $L_b \times H$). Для созда-

Объединенный институт высоких температур
Российской Академии наук, Москва
Московский физико-технический институт
(государственный университет),
Долгопрудный Московской обл.

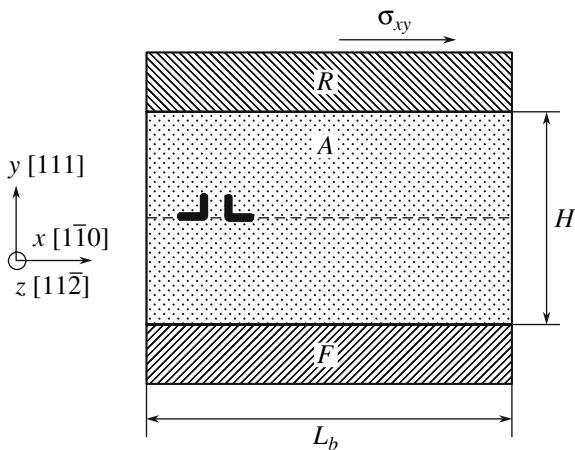


Рис. 1. Схема модели для расчета поведения дислокаций в ГЦК-кристалле под действием сдвига: A – часть со свободными атомами. F – область с фиксированными атомами. R – область атомов в виде абсолютно твердого тела, которая двигается в направлении оси x с заданной скоростью либо под действием заданной внешней силы.

ния сдвиговых напряжений σ_{xy} используются несколько крайних атомных слоев, каждый из которых состоит из частиц, неподвижных друг относительно друга. Положение трех атомных слоев у нижней границы (F) фиксируется на месте, в то время как слои у верхней границы (R) двигаются вдоль оси x под действием заданной внешней силы F_x либо с постоянной заданной скоростью v_x . Таким образом, в первом случае непосредственно контролируется сдвиговое напряжение, во втором – деформация.

Для создания дислокации используется следующая процедура:

в идеальной кристаллической структуре удаляются две соседних атомных полуплоскости $(1\bar{1}0)$;

при небольшом сжатии кристалла происходит сближение атомных плоскостей, находящихся по разные стороны от места выреза, координаты атомов по осям y и z при этом фиксируются (т.е. движение атомов происходит вдоль оси x);

снятие ограничения на движение вдоль оси x для частиц блока A , “замораживание” частиц в блоках R и F , релаксация образовавшейся структуры методом минимизации потенциальной энергии;

релаксация с выводом на заданные температуру и давление.

Отметим важность третьего этапа описанной процедуры, поскольку на нем происходит процесс расщепления полной дислокации, энергетически менее выгодной для ГЦК-решетки, на две частичные краевые дислокации:

$$\frac{a}{2}[1\bar{1}0] \rightarrow \frac{a}{6}[2\bar{1}\bar{1}] + \frac{a}{6}[1\bar{2}1]. \quad (1)$$

Поскольку атомы в ядре дислокации, а также в промежутке между разбежавшимися частичными дислокациями образуют дефекты в упаковке ГЦК-решетки, то их можно успешно выделять на основании параметров, характеризующих ближайшее окружение частицы. Анализ движения дислокаций проводится на основании расчета координационного числа K_i и параметра (локально-го) центральной симметрии для каждого атома CS_i [7]. Результатом подобного расчета является положение ядер двух частичных дислокаций на оси x в зависимости от времени.

При молекулярно-динамическом моделировании использовался потенциал межчастичного взаимодействия [8], разработанный на основе метода погруженного атома (EAM – embedded atom method) для описания свойств алюминия. На первом этапе было проведено его сопоставление с двумя другими потенциалами, часто используемыми в современных расчетах: [9] и [10]. Все эти потенциалы достаточно точно воспроизводят упругие модули материала, известные из экспериментов.

ДВИЖЕНИЕ ДИСЛОКАЦИЙ В НЕДЕФОРМИРОВАННОМ КРИСТАЛЛЕ

Параметром, важным при моделировании движения дислокаций, является равновесное расстояние между частичными дислокациями r_{eq} . Оно определяется равнодействием двух сил: упругой отталкивающей силы $\sim \frac{\mu b^2}{r}$ и силы притяжения $(\gamma$ на единицу длины дислокации), связанной с увеличением энергии при увеличении размера дефектной области между дислокациями. Таким образом, равновесное расстояние между частичными дислокациями $r_{eq} \sim \frac{\mu b^2}{\gamma}$ (см., например, [11, 12]).

Расчеты статическими методами (минимизация потенциальной энергии системы) показывают, что равновесное расстояние между частичными дислокациями составляет 1.5 нм для двух рассмотренных потенциалов [8] и [10]. Такое значение близко к данным экспериментов и расчетов из первых принципов (значение варьируется от 0.3 до 4 нм; подробнее см. [11]). При использовании потенциала [10] равновесное расстояние оказывается существенно больше и сравнимо с размером ячейки. Несмотря на то, что значение модуля сдвига для потенциала [10] меньше, расстояние между дислокациями оказывается для него больше. Это объясняется чрезвычайно низкой энергией образования дефектной структуры γ , которая не принималась во внимание при разработке этого потенциала. Поскольку данный параметр представляется важным при рассмотрении подвижности дислокаций и их взаимодействия с дефектами в

ГЦК-кристалле, в исследованиях используется потенциал [8].

При моделировании недеформированного монокристалла при конечной температуре наблюдаются колебания ядер частичных дислокаций. Общее движение дислокаций можно представить в виде трех характерных типов колебаний: поперечные колебания каждой из частичных дислокаций (изгибы дислокационной линии); колебания расстояния между ядрами частичных дислокаций; колебания общего центра масс двух дислокаций. Амплитуда колебаний всех типов определяется температурой.

Колебания расстояния между частичными дислокациями (второго типа) происходят около значения 1.5 нм в диапазоне 1–3 нм. Как уже было отмечено, равновесное расстояние и характерная частота определяются силами упругого взаимодействия частичных дислокаций и силой поверхностного натяжения между ними, зависящей от энергии дефекта упаковки. Пульсирующее движение такого типа наблюдалось при молекулярно-динамическом моделировании частичных винтовых дислокаций в ГЦК-кристаллах и получило название “дыхание дислокаций” [13].

КОЭФФИЦИЕНТ ТОРМОЖЕНИЯ ДИСЛОКАЦИЙ

Подвижность дислокаций в зависимости от сдвигового напряжения удобно изучать, прикладывая внешнюю силу к блоку атомов R , в то время как блок F остается зафиксированным. Величина сдвигающей силы F_x определяется значением заданного напряжения σ_{xy} и площадью поверхности S_{xz} , к которой она прикладывается: $F_x = \sigma_{xy} S_{xz}$. В результате кристалл подвергается упругой деформации. Мгновенная величина напряжения, рассчитываемая из теоремы вириала, при этом колеблется около среднего заданного значения σ_{xy} . При малых напряжениях дислокация может оставаться на месте либо совершать нерегулярные движения в ту или иную сторону. По достижении критического значения напряжения ее перемещения становятся упорядоченными, начинается перемещение с постоянной скоростью, зависящей от прикладываемой сдвиговой силы и температуры. Колебания мгновенной величины напряжения, упомянутые выше, неказываются на скорости дислокации.

Измеренные нами зависимости скорости дислокации v от сдвигового напряжения σ для нескольких температур, вплоть до температуры плавления, представлены на рис. 2. Четко выделяются два режима (особенно при низких температурах): линейный в области низких значений напряжения и асимптотического приближения скорости дислокации к поперечной скорости зву-

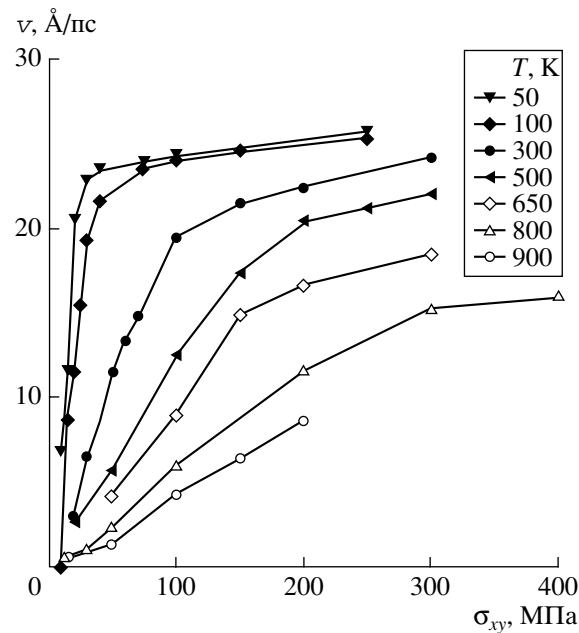


Рис. 2. Зависимость скорости движения дислокации v от прикладываемого сдвигового напряжения σ_{xy} . Представлены результаты для различных температур.

ка. Во всем исследованном диапазоне увеличение температуры приводит к уменьшению скорости дислокации. Таким образом, движение дислокаций не требует термоактивации, наоборот, имеет место динамический режим с фононным трением дислокаций. Движение лимитируется перекачкой энергии от дислокации к элементарным возбуждениям в кристалле. Линейный участок зависимости принято характеризовать коэффициентом динамического торможения дислокации B :

$$\sigma b = B v, \quad (2)$$

где $b \approx 2 \text{ \AA}$ – величина вектора Бюргерса дислокации.

На основании полученных здесь методом молекулярной динамики данных была определена температурная зависимость коэффициента торможения $B(T)$. В виде, обезразмеренном на температуру θ (порядка дебаевской, подробнее см. [2]) и соответствующее значение коэффициента $B(\theta)$, она представлена на рис. 3. Для алюминия использовано значение $\theta = 230 \text{ K}$. Для сравнения приведены экспериментальные данные, взятые из обзора [2]. Абсолютное значение коэффициента торможения дислокации при 300 K , определенное из обработки молекулярно-динамических расчетов, составило приблизительно $1.4 \cdot 10^{-5} \text{ Па} \cdot \text{с}$, что близко к экспериментальным значениям. По оценкам различных экспериментов оно варьируется от $0.5 \cdot 10^{-5} \text{ Па} \cdot \text{с}$ (затухание ультразвука; см. [14]) и $2.6 \cdot 10^{-5} \text{ Па} \cdot \text{с}$ (подвижность дислокаций;

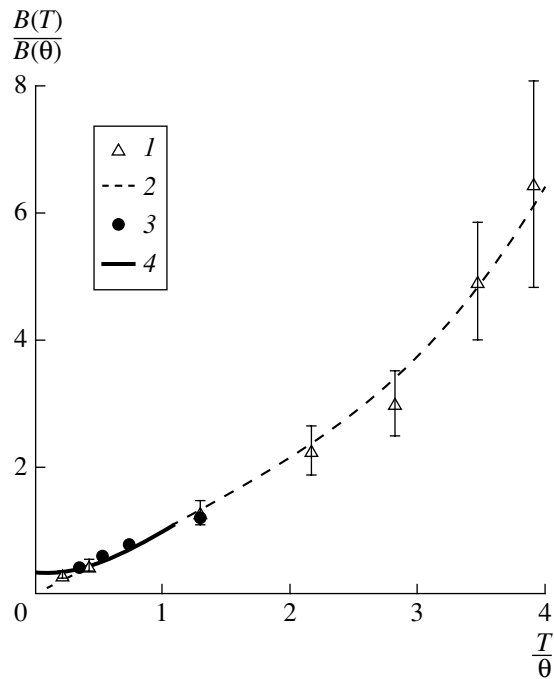


Рис. 3. Зависимость коэффициента динамического торможения дислокаций от температуры для кристалла алюминия. Значения температуры и коэффициента обезразмерены на температуру $\theta = 230$ К и величину $B(\theta)$. 1 – молекулярная динамика, 2 – аппроксимация данных молекулярной динамики по формуле (3), 3 – эксперимент [15], 4 – эксперимент [14].

см. [15]) до $17 \cdot 10^{-5}$ Па · с (затухание ультразвука; см. обзор [2]).

В области умеренных температур зависимость практически линейная. Такой ход кривой $B(T)$ описывается в рамках существующих теорий фононного трения [2]. С ростом температуры сказываются отклонения от линейного закона, хорошо описываемые полиномом третьей или четвертой степени, например:

$$\frac{B(T)}{B(\theta)} = \frac{T}{\theta} + 0.0095 \left(\frac{T}{\theta} \right)^4. \quad (3)$$

ТЕМПЕРАТУРНАЯ ЗАВИСИМОСТЬ ДИНАМИЧЕСКОГО ПРЕДЕЛА ТЕКУЧЕСТИ

Величину напряжения течения при высокоскоростном нагружении можно определить, если считать, что скорость пластического деформирования $\dot{\epsilon}$ определяется подвижностью дислокаций: $\dot{\epsilon} = \rho_m b v$. Будем считать, что плотность подвижных дислокаций ρ_m постоянна в экспериментах, не зависит от температуры и условий деформирования. Тогда величина динамического предела текучести как функция температуры определяется температурной за-

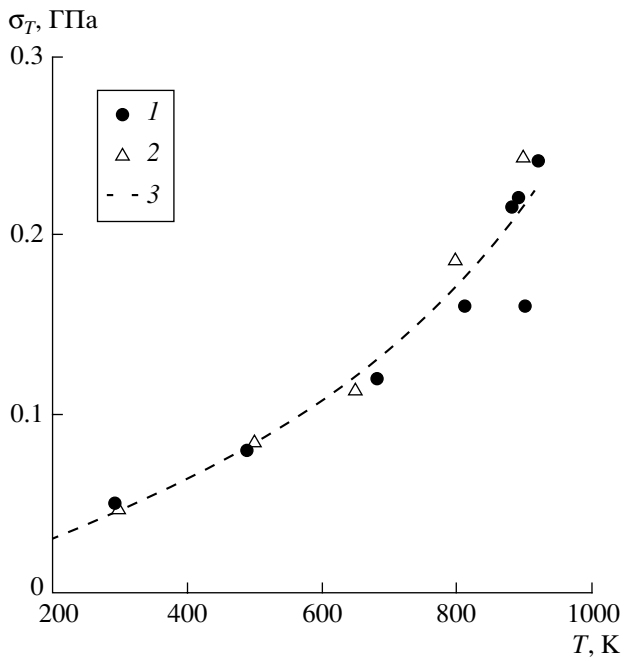


Рис. 4. Зависимость динамического предела текучести монокристаллического алюминия от температуры. 1 – эксперимент [1], 2 – соотношение (4) при $b = 2$ Å, $\dot{\epsilon} = 10^6$ с⁻¹, $\rho_m = 7 \cdot 10^8$ см⁻² и значениях $B(T)$ из молекулярной динамики, 3 – то же, что и 2, но при аппроксимации $B(T)$ по формуле (3) и $\rho_m = 7.5 \cdot 10^8$ см⁻².

висимостью коэффициента торможения дислокаций $B(T)$ в соответствии с формулой

$$\sigma_T(T) = \frac{\dot{\epsilon}}{\rho_m b^2} B(T). \quad (4)$$

Полученные таким образом значения можно сопоставить с данными о динамическом пределе текучести монокристаллического алюминия, полученными из ударно-волнового эксперимента [1], где скорости деформирования составляют приблизительно $\dot{\epsilon} = 10^6$ с⁻¹ (см. рис. 4). Точные значения плотности дислокаций в условиях ударно-волнового сжатия не известны, однако видно, что экспериментально полученная температурная зависимость хорошо описывается зависимостью динамического коэффициента торможения дислокаций от температуры $B(T)$, если величину плотности дислокаций принять равной $\rho_m \approx 7 \cdot 10^8$ см⁻². Различие на один–два порядка в сравнении с характерной плотностью подвижных дислокаций в монокристаллическом алюминии при нормальных условиях (10^6 – 10^7 см⁻² по данным из [15]) можно объяснить возрастанием плотности дислокаций при сжатии материала в ударной волне. Из формулы (2) заключаем, что измеренные в эксперименте [1] величины предела текучести обеспечиваются при скорости движения дислокаций

$v \sim 700$ м/с, соответствующей динамическому режиму торможения (см. рис. 2).

Таким образом, построена молекулярно-динамическая модель движения краевой дислокации в монокристалле. В модели алюминия получены зависимости скорости краевой диссоциировавшей дислокации от сдвигового напряжения при различных температурах. С увеличением прикладываемого сдвигового напряжения достигается предельная скорость движения дислокаций, близкая к скорости распространения упругих сдвиговых возмущений. Определена температурная зависимость коэффициента динамического торможения, соответствующая при малых температурах имеющимся экспериментальным данным и теоретическим представлениям. С приближением к температуре плавления полученная зависимость коэффициента динамического торможения дислокаций существенно отличается от линейной. Результаты согласуются с экспериментальными данными по температурной зависимости предела текучести алюминия при высокоскоростной деформации и могут служить для определения плотности дислокаций за фронтом ударной волны.

Расчеты выполнены в Межведомственном суперкомпьютерном центре РАН и на кластере МФТИ-60 кафедры информатики МФТИ (ГУ).

Авторы выражают признательность Г.И. Канелю за полезные обсуждения и интерес к данной работе.

А.В.Я. благодарит за поддержку Фонд некоммерческих программ “Династия”.

Работа поддержана грантами РФФИ 05-08-65423, программ фундаментальных исследований РАН “Исследование вещества в экстремальных условиях” и “Квантовая макрофизика”, аналити-

ческой ведомственной целевой программы “Развитие научного потенциала высшей школы (2006–2008 гг.)” “Компьютерное моделирование металлов в области фазовых переходов и экстремальных условиях”.

СПИСОК ЛИТЕРАТУРЫ

1. Канель Г.И., Фортов В.Е., Разоренов С.В. // УФН. 2007. Т. 177. № 8. С. 809.
2. Альшиц В.И., Инденбом В.Л. // УФН. 1975. Т. 115. № 1. С. 3.
3. Осипьян Ю.А., Петренко В.Ф. // ЖЭТФ. 1972. Т. 63. № 5(11). С. 1735–1744.
4. Добромыслов А.В., Козлов Е.А., Литвинов Б.В., Талуц Н.И. // ДАН. 2007. Т. 415. № 2. С. 185.
5. Osetsky Yu.N., Bacon D.J. // Model. Simul. Mater. Sci. Eng. 2003. № 11. P. 427.
6. Daw M.S., Foiles S.M., Baskes M.I. // Mater. Sci. Rep. 1992. № 9. P. 251.
7. Kelchner C.L., Plimpton S.J., Hamilton J.C. // Phys. Rev. B. 1998. V. 58. P. 11085.
8. Liu X.-Y., Ercollessi F., Adams J.B. // Model. Simul. Mater. Sci. Eng. 2004. № 12. P. 665.
9. Mishin Y., Farkas D., Mehl M.J., Papaconstantopoulos D.A. // Phys. Rev. B. 1999. V. 59. P. 3393.
10. Cai J., Ye Y.Y. // Phys. Rev. B. 1996. № 54. P. 8398.
11. Srinivasan S.G., Liao X.Z., Baskes M.I. et al. // Phys. Rev. Lett. 2005. V. 94. P. 125502.
12. Хирт Дж., Лоте И. Теория дислокаций. М.: Атомиздат, 1972.
13. Mordehai D., Ashkenazy Y., Kelson I., Makov G. // Phys. Rev. B. 2003. V. 67. P. 024112.
14. Hikata A., Johnson R.A., Elbaum C. // Phys. Rev. B. 1970. V. 2. № 12. P. 4856.
15. Gorman J.A., Wood D.S., Vreeland T., Jr. // J. Appl. Phys. 1969. V. 40. P. 833, 903.